

طبقه‌بندی کیوی با استفاده از تکنیک ضربه- آکوستیک و شبکه عصبی مصنوعی

فرزانه جنت دوست^۱ - پرویز احمدی مقدم^{۲*} - فاروق شریفیان^۳

تاریخ دریافت: ۱۳۹۶/۱۲/۰۵

تاریخ پذیرش: ۱۳۹۷/۰۵/۱۵

چکیده

حفظ پارامترهای کیفی میوه در مرحله پس از برداشت نقش تاثیرگذاری در بازارپسندی و کاهش ضایعات محصول دارد. هدف اصلی تحقیق حاضر، بررسی فاکتور سفتی میوه کیوی پس از برداشت با استفاده از تکنیک غیرمخرب آنالیز سیگنال صوتی حاصل از ضربه می‌باشد. در این مطالعه ۱۵۰ عدد کیوی رقم هایوارد در طول دوره ۱۸ روز پس از برداشت (پس از خروج از سردخانه) مورد مطالعه قرار گرفتند. نمونه‌ها بر روی یک نوار نقاله قرار داده شده و به‌طور گسسته با یک صفحه افقی برخورد کرده و سپس با پردازش صدای حاصل از ضربه در دو حوزه زمان و فرکانس، صفات مربوط به کیوی‌های سفت، متوسط و نرم استخراج گشت و سپس توسط شبکه‌های عصبی مصنوعی کلاس‌بندی شد. نتایج نشان داد که ویژگی‌های حوزه فرکانس، بیشترین قابلیت را در شناسایی صحیح نمونه‌ها داشته و مدل بهینه‌ای ارائه شده با تعداد پنج نرون در لایه پنهان دارای دقت شناسایی صحیح ۹۳/۳ در مرحله آموزش، ۹۱/۳ در مرحله ارزیابی و ۷۸/۳ درصدی برای داده‌های آزمون برای کل نمونه‌ها بود.

واژه‌های کلیدی: آزمون غیرمخرب صوتی، انبارمانی، پردازش سیگنال، سفتی کیوی، شبکه عصبی مصنوعی

مقدمه

مشکلات اصلی تولیدکنندگان و صادرکنندگان محصولات کشاورزی می‌باشد (Mery et al., 2013).

درجه‌بندی میوه بر اساس پارامترهای کیفی آن مانند سفتی، مزه، رنگ و شکل ظاهری نقش تاثیرگذاری بر بازارپسندی و صادرات میوه دارد. عوامل مختلفی از قبیل عوامل بیولوژیکی، زیست‌محیطی، روش برداشت و جابه‌جایی محصول، طول دوره و نوع انبارداری بر خواص مختلف محصول تاثیر می‌گذارند و پیامدهای اقتصادی قابل توجهی در پی دارند (Mirzaei et al., 2013).

روش‌های اندازه‌گیری خواص کیفی در میوه‌ها به دو دسته مخرب و غیرمخرب تقسیم‌بندی می‌شوند. روش‌های مخرب در اغلب موارد دقیق‌تر بوده، اما هزینه‌بر و وقت‌گیر هستند. همچنین ایراد اصلی آن‌ها این است که در کاربردهای بلادرنگ قابل استفاده نمی‌باشند. از آنجایی که سفتی عامل مهمی در تعیین رسیدگی، مدت انبارمانی و حتی بازارپسندی محصولات می‌باشد، این فاکتور بیشتر مورد توجه محققین قرار گرفته و در تحقیقات مختلف به ارائه راهکارهای نوین و غیرمخرب در تعیین سفتی میوه پرداخته شده است (Mirzaei et al., 2013).

در دو دهه‌ی اخیر، تحقیقات گسترده‌ای برای ابداع روش‌های کارآمد، ارزان قیمت، ساده و انعطاف‌پذیر در زمینه‌ی تعیین سفتی صورت گرفته است. از جمله روش‌های غیرمخرب در تعیین سفتی، می‌توان به روش‌های صوتی (Pathaveerat et al., 2008)، فراصوتی (Kim et al., 2009)، نوری (Pérez-Martin et al., 2009) و مغناطیسی (Ragni and Berardinelli, 2001) اشاره

میوه‌ها و سبزی‌ها نقش مهمی در تأمین نیاز غذایی و سلامت انسان دارند. این گروه از محصولات کشاورزی به دلیل داشتن رطوبت زیاد، فسادپذیر هستند و در دوره پس از برداشت بخش عمده‌ای از آن‌ها (بین ۵ تا ۵۰ درصد) از بین می‌روند. کاهش و به حداقل رساندن چنین ضایعاتی می‌تواند یکی از راه‌های مؤثر در تأمین غذای جامعه و سودآوری کشاورز به حساب آید (De Ketelaere et al., 2006). سالانه حدود ۱/۴ میلیون تن کیوی در جهان تولید می‌شود. ایران با تولید سالانه ۲۲۱ هزار تن کیوی، چهارمین تولیدکننده این محصول در جهان پس از کشورهای ایتالیا، نیوزیلند و شیلی به‌شمار می‌رود (FAO, 2013). علی‌رغم تولید مازاد بر مصرف این میوه در کشور، جایگاه کشورمان از نظر صادرات محصول متناسب با تولید نیست و بعد از کشورهای ایتالیا، نیوزیلند، شیلی، بلژیک، یونان، هلند و فرانسه در رده هشتم جهان قرار گرفته است. از مهم‌ترین عوامل پایین بودن میزان صادرات محصول، می‌توان کمبود صنایع فرآوری، درجه‌بندی، اندازه‌بندی و بسته‌بندی عنوان کرد. از طرفی محدودیت‌ها و هزینه‌های بالای تهیه و نگهداری میوه‌ها در انبارها و همچنین توسعه بیماری‌ها و کاهش کیفیت محصولات در طول دوره انبارمانی از جمله

۱- دانش‌آموخته کارشناسی ارشد مکانیک بیوسیستم، دانشگاه ارومیه

۲- دانشیار گروه مکانیک بیوسیستم، دانشکده کشاورزی، دانشگاه ارومیه

۳- استادیار گروه مکانیک بیوسیستم، دانشکده کشاورزی، دانشگاه ارومیه

(Email: p.ahmadi@urmia.ac.ir)

*- نویسنده مسئول

DOI: 10.22067/jam.v9i2.71198

انرژی موردنیاز نفوذ و مدول الاستیسیته با استفاده از دستگاه آنالیز بافت مدل (TA.XT-PlusTexture Analyser)، انجام می‌گرفت.

طراحی و ساخت سیستم داده‌برداری

به منظور انجام آزمایشات و دریافت سیگنال‌های صوتی حاصل از برخورد میوه با صفحه فوقانی محفظه، سیستم تسمه نقاله به همراه محفظه داده‌برداری طراحی و ساخته شد (شکل ۱). این سیستم متشکل از سه بخش سکوی تغذیه، سیستم اخذ داده و سیستم پردازش و محاسبات می‌باشد. نمونه‌ها بر روی سکوی تغذیه قرار گرفته و در یک فاصله طولی معین جابه‌جا شده و سپس با یک صفحه افقی از جنس فایبرگلاس برخورد کرده و صدای حاصل از برخورد، در سیستم اخذ داده شامل میکروفن و محفظه آکوستیک شیشه‌ای ضبط شده و به رایانه منتقل شد. سرانجام با آماده‌سازی سیگنال و استخراج ویژگی مناسب، سفتی کیوی بر مبنای سیگنال‌های ذخیره شده در سه گروه نرم، متوسط و سفت دسته‌بندی شد.

سکوی تغذیه

سکوی تغذیه شامل یک نوار نقاله به طول ۱۳۹ سانتی‌متر و عرض ۵۰ سانتی‌متر و ارتفاع آن از سطح برخورد بین ۵-۱ سانتی‌متر قابل تنظیم است. نوار نقاله توسط یک موتور گیربکس‌دار صنعتی ۲۲۰ ولت تک فاز با دور ۱۵۰ rpm و دو جهته (راست‌گرد و چپ‌گرد) به حرکت درمی‌آید. با توجه به اینکه سرعت نوار نقاله‌های اکثر ماشین‌های درجه‌بند و جداساز تجاری بین ۱/۳-۰/۵ متر بر ثانیه قرار دارد و با بررسی کیفی تعدادی نمونه در سرعت‌های مختلف، سرعت ۰/۲ متر بر ثانیه و ارتفاع سقوط ۲ سانتی‌متر برای آزمون تمام نمونه‌ها انتخاب گشت. این ارتفاع به‌صورت تجربی به‌دست آمد طوری که سیگنال حاصله کیفیت لازم را داشته باشد یعنی امکان ضبط آن توسط حسگر وجود داشته باشد و آسیبی به سطح میوه نیز وارد نگردد.

سیستم داده‌برداری

سیستم اخذ داده از یک میکروفن، محفظه آکوستیک، صفحه برخورد و سیم‌های رابط تشکیل شده است. میکروفن آزمایشگاهی ANALOG DEVICES Co. P4010 (omnidirectional) - JC6210 با دامنه پاسخ فرکانسی ۱۵۰۰-۱۰۰ هرتز و دقت ۴۲ دسی‌بل ولت و ابعاد $3 \times 4/72 \times 76/3 \times 1$ mm برای ذخیره سیگنال‌های حاصل از برخورد کیوی با صفحه استفاده شد. برای جلوگیری از اثر نویز خارجی و سر و صدای ناشی از عوامل خارجی، یک محفظه آکوستیکی طراحی و ساخته شد. از آنجایی که گاز آرگون عایق صدا بوده، در ساخت محفظه از شیشه‌ی سه جداره استفاده شد و جداره داخلی با گاز آرگون پر شد. میکروفن دقیقاً زیر صفحه برخورد

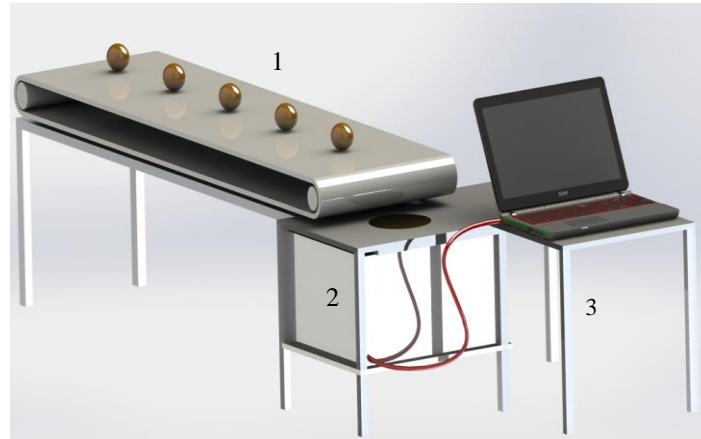
کرد. سفتی بافت گونه‌های مختلفی از میوه‌ها مانند کیوی (Park and Jung, 2005; Terasaki et al., 2001) و گوجه‌فرنگی (Mizrach, 2007) توسط روش‌های مخرب و غیرمخرب پیش‌بینی شده است. (Garsia et al., 2003) از روش مبتنی بر صوت برای طبقه‌بندی میوه بر مبنای سفتی استفاده کردند. نتایج نشان داد که سنسورهای صوتی با دقت ۹۱٪ قادر به تشخیص سیب‌های با بافت نرم از سیب‌های با بافت سفت می‌باشند. اما تحقیقات کمی در زمینه‌ی تغییرات سفتی میوه‌ها در طول دوره‌ی عمر قفسه‌ای صورت گرفته است. (Zhang et al., 2014) کیفیت بیرونی بافت میوه سیب را که شامل سفتی آن می‌شود با استفاده از تکنیک پردازش تصاویر مورد بررسی قرار دادند. در این تحقیق بعد از خروج سیب از سردخانه به مدت ۱۲ روز در دمای اتاق (۲۰ درجه سلسیوس) نگهداری شدند. در روزهای ۱ و ۳ همچنین ۷ و ۱۲ تصاویر بایواسپکل از نمونه‌ها تهیه شد. نتایج تحقیق نشان داد که در روزهای اول همبستگی بین فریم‌های تصویر بایواسپکل کاهش داشت که نشان از فعالیت بیولوژیکی سیب بود اما در روزهای پایانی این همبستگی افزایش نشان داد. لذا در این تحقیق برای دستیابی به یک تکنولوژی کارآمد و اقتصادی در زمینه‌ی تعیین میزان سفتی کیوی، کاربرد آزمون‌های آکوستیک مورد توجه قرار گرفته است. هدف اصلی تحقیق حاضر، بررسی سفتی کیوی در پایان دوره انبارمانی با استفاده از امواج صوتی حاصل از ضربه و مدل‌سازی به‌وسیله شبکه عصبی می‌باشد.

مواد و روش‌ها

آماده‌سازی نمونه‌ها

این تحقیق در سال ۱۳۹۴ در گروه مکانیک بیوسیستم دانشگاه ارومیه انجام گرفت. در آزمایشات ۶۰ کیلوگرم کیوی رقم هاپوارد از میدان میوه و تره‌بار شهرستان ارومیه خریداری شد و تا شروع آزمایشات در شرایط کنترل‌شده‌ی سردخانه در دمای ۱+۰ درجه سلسیوس و رطوبت نسبی ۹۰ درصد نگهداری گردید (Park and Jung, 2005). تمامی نمونه‌ها بعد از خارج شدن از سردخانه در شرایط ثابت و یکسان، بدون قرار گرفتن در معرض نور مستقیم آفتاب نگهداری شدند (شرایط مغازه‌های میوه‌فروشی). به منظور بررسی سفتی کیوی در شرایط مغازه‌های میوه‌فروشی، آزمایشات در مدت زمان ۱۸ روز پس از انتقال میوه‌ها از سردخانه به فروشگاه میوه صورت گرفت. داده‌برداری در ۹ دوره و با فاصله زمانی ۲ روز انجام شد. در هر آزمایش ۴۸ کیوی با سرعت افقی اولیه ۰/۲ متر بر ثانیه با صفحه فوقانی محفظه صدا‌برداری برخورد کرده و سیگنال‌های مربوطه ذخیره می‌شدند. سپس در همان روز، آزمایشات مربوط به تحلیل بافت شامل اندازه‌گیری نیروی ماکزیمم نفوذ (شاخص سفتی)

قرار داده شد تا بتواند سیگنال‌های حاصل از برخورد میوه با صفحه را ذخیره نماید.

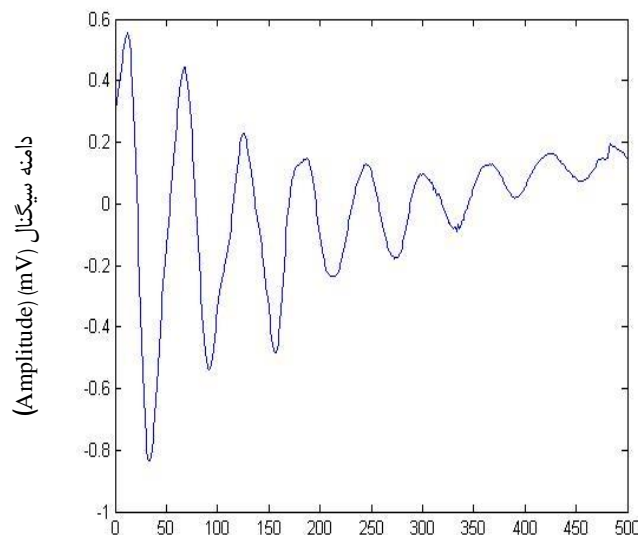


شکل ۱- شماتیک سیستم آزمایشگاهی ساخته شده برای تشخیص سفتی کیوی، ۱- تسمه نقاله تغذیه، ۲- محفظه آکوستیک، ۳- سیستم ضبط و پردازش داده

Fig.1. Schematic setup used for stiffness measuring of kiwi fruit; 1. Feeding conveyor belt, 2. Acoustic box, 3. Data Recording and Processing System

سیگنال ذخیره شده در حوزه‌ی زمان در شکل ۲ نشان داده شده است. با توجه به اینکه کیوی هیچ‌گونه حرکتی و چرخشی ندارد و تسمه نیز کار نمی‌کند، صدای حاصل از برخورد، تماماً مربوط به ویژگی‌های فیزیکی میوه می‌باشد. از محفظه چوبی صرفاً به این منظور استفاده گردید تا ارتفاع سقوط تمامی نمونه‌ها یکسان باشد.

به‌منظور بررسی دقت سیگنال‌های اخذ شده در حالت آنالین و مشاهده اثر صداهای ناشی از حرکت تسمه و موتور، آزمون برای حالت سقوط آزاد طراحی و انجام گرفت. در آزمون سقوط آزاد با استفاده از یک محفظه چوبی که روی صفحه برخورد محفظه آکوستیک قرار داده شد، نمونه‌ها از ارتفاع ۲۰ میلی‌متری بر روی صفحه رها می‌شدند و سیگنال حاصل ذخیره می‌گردید. نمونه‌ای از



نقاط داده برداری شده (Date point)

شکل ۲- سیگنال ذخیره شده در حوزه زمان

Fig.2. The signal in time domain

آزمون‌های مخرب

$$X(e^{j\omega}) = |X(e^{j\omega})| e^{j\angle X(e^{j\omega})} \quad (1)$$

که $|X(e^{j\omega})|$ اندازه و $\angle X(e^{j\omega})$ زاویه یا فاز تبدیل فوریه می‌باشد. $|X(e^{j\omega})|^2$ را چگالی طیف توان می‌نامند، چون $|X(e^{j\omega})|^2$ محتوای فرکانسی سیگنال را نشان می‌دهد.

چگالی طیف توان از حاصلضرب بردار دامنه و مزدوج آن در حوزه فرکانس نیز به دست می‌آید. معمولاً چگالی طیف توان را با دسی‌بل می‌سنجند تا نمایش بهتری از سیگنال ارائه دهد (رابطه ۲). ولی از آنجا که مقایسه‌ی بین اندازه‌ی داده‌ها اهمیت بیشتری دارد، برای کاهش تعداد محاسبات، در این تحقیق از تعریف $PSD = \text{AmpFFT}^2 / 1024$ استفاده شد.

$$PSD (db) = 10 \log_{10}(PSD) = 2 \log_{10}(AmpFFT) \quad (2)$$

اندازه‌ی طیف‌های فوق ابتدا نرمال گردیده و سپس با استفاده از یک فیلتر پایین گذر، تغییرات شدید آن هموار گردید. بنابراین تنها ۵۰ داده از طیف نرمالیزه که حول فرکانس بیشینه قرار داشتند به عنوان یکی دیگر از ویژگی‌های طیف انتخاب شدند. در نهایت، ۵۱۲ نقطه از دامنه سیگنال در حوزه‌ی زمان، اندازه شاخص تیزی (CF)، ۱۰ نقطه از اندازه‌ی نرمالیزه شده طیف با مرکزیت فرکانس بیشینه (NFFT)، ۱۰ نقطه از اندازه‌ی نرمالیزه شده چگالی طیف توان و ۱۰ نقطه برای فاز (PhaseFFT) هر نمونه در نظر گرفته شد. اندازه شاخص تیزی به صورت نسبت مقدار پیک دامنه تقسیم بر RMS آن موج تعریف شد و با استفاده از رابطه (۳) محاسبه می‌گردد (Smets et al., 2010).

$$CF = \frac{MAX x(t)}{RMS x} \quad (3)$$

پس از ذخیره سیگنال‌های حاصل از برخورد نمونه‌های سفت، متوسط و نرم، با استفاده از ویژگی‌های صوتی اقدام به شناسایی کیوی‌ها از لحاظ سفتی گردید. ابتدا با استفاده از نتایج آزمون مگنس-تیلر و مقایسه حداکثر نیروی نفوذ نمونه‌های هر دوره و تغییرات دامنه سیگنال‌ها، نمونه‌های سفت، متوسط و نرم دسته‌بندی شدند. با رسم نمودار سفتی تمامی نمونه‌ها دو مرز مشخص بین نمونه‌ها با توجه به مقدار انحراف از میانگین مشخص گردید تا نمونه‌ها را به سه کلاس نرم، متوسط و سفت تقسیم‌بندی نماید. حداکثر نیروی نفوذ نمونه‌های سفت، متوسط و نرم به ترتیب $۱۴/۵۵ \pm ۵/۶۵$ ، $۷/۲۸ \pm ۱/۳۹$ و $۳/۲۴۴ \pm ۲/۵۴$ نیوتن تعیین گردید.

بعد از اتمام داده‌برداری، اطلاعات مربوط به کیوی‌های سفت، متوسط و نرم در یک ماتریس ۱۵۰×۵۱۲ برای هر دو حالت سقوط از تسمه و سقوط آزاد ذخیره شد. در این ماتریس‌ها، عدد ۵۱۲ نشانگر تعداد داده‌های مربوط به سیگنال هر نمونه در حوزه زمان و عدد ۱۵۰ تعداد نمونه‌های مورد مطالعه است. بایستی خاطر نشان کرد که تعداد کل نمونه‌ها ۴۳۲ می‌باشد ولی پس از بررسی اولیه داده‌ها از

آزمون مگنس-تیلر برای تعیین میزان سفتی و انرژی نفوذ، با استفاده از دستگاه آنالیز بافت (TA.XT-PlusTexture Analyser)، ساخت شرکت هانسفیلد، در گروه مکانیک بیوسیستم دانشگاه ارومیه بر روی نمونه‌ها انجام گرفت. هدف از این آزمون، تعیین سفتی میوه از طریق اندازه‌گیری شاخص استاندارد سفتی است. ابتدا یک لایه از پوست به ضخامت ۲ میلی‌متر به وسیله تیغ جراحی جدا شده، سپس با استفاده از دستگاه آنالیز بافت، پروبی با نوک کره‌ای به قطر ۸ میلی‌متر تا عمق ۸ میلی‌متر و با سرعت ۱۰ میلی‌متر بر ثانیه، در دو نقطه در راستای قطر کوچک در میوه نفوذ داده شد. سپس با توجه به منحنی‌های نیرو-تغییر شکل ثبت شده در حافظه‌ی رایانه، مقادیر سفتی و انرژی نفوذ تعیین شد (Mirzaei et al., 2013).

سه پارامتر ماکزیمم نیروی نفوذ (N)، مساحت سطح زیر نمودار (N*s) و شیب نمودار ($N s^{-1}$) برای هر نمونه استخراج شد. برای حصول اطمینان از همگن بودن بافت نمونه‌ها و یکسان بودن سفتی در تمام قسمت‌های آنها، آزمون در دو زاویه صفر و ۱۸۰ درجه (دو نقطه مقابل هم در طرفین میوه) انجام شد. از آنجایی که پارامترهای مساحت زیر سطح نمودار و شیب نمودار نیز به پارامتر ماکزیمم نیروی نفوذ وابسته هستند، لذا در این تحقیق حداکثر نیروی نفوذ به عنوان شاخص سفتی مورد استفاده قرار گرفت. بنابراین در این تحقیق ابتدا برای هر نمونه، سیگنال حاصل از برخورد میوه با صفحه ذخیره شد و بلافاصله مقدار سفتی میوه توسط آزمون نفوذ تعیین گردید.

استخراج ویژگی

در این مرحله، از میان تمامی اطلاعات مربوط به سیگنال صوتی، آن دسته از ویژگی‌هایی که می‌توانستند در تفکیک کیوی سفت از نرم مورد استفاده قرار گیرند، شناسایی شده‌اند. برای این منظور سیگنال‌های صوتی در دو حوزه‌ی زمان و فرکانس پردازش شده و ویژگی‌های توانمند آن‌ها به شرح زیر استخراج گردیدند:

هر سیگنال صوتی شامل یک بردار به طول ۵۱۲ داده است و هر آرایه‌ی آن نشانگر دامنه‌ی سیگنال بر حسب ولت می‌باشد. برای استخراج ویژگی‌های مؤثرتر، سیگنال‌های صوتی توسط تبدیل سریع فوریه (FFT) ۱۰۲۴ نقطه‌ای به حوزه‌ی فرکانس منتقل شدند.

در قدم بعدی بایستی اندازه، فاز و چگالی طیف توان^۱ (PSD) سیگنال‌های حوزه فرکانس محاسبه شوند.

از آنجا که آرایه‌های بردار تبدیل سریع فوریه سیگنال، اعداد مختلط هستند، اغلب توسط بردارهای دامنه و فاز نشان داده می‌شوند. نمایش اندازه-فاز تبدیل فوریه عبارت است از:

باشد و برخی از ویژگی‌ها در نظر گرفته نشوند. از این رو طبق رابطه (۴)، ویژگی‌های اولیه (I) در گستره [۰ ۱] نرمالیزه شدند.

$$X_{norm} = \frac{X - X_{min}}{X_{max} - X_{min}} \quad (4)$$

X_{max} = بزرگترین عدد در بین مجموعه اعداد

X_{min} = کوچکترین عدد در بین مجموعه اعداد

X_{norm} = داده نرمال شده

در نهایت برای ارزیابی سامانه طبقه‌بند پیشنهادی از شاخص‌های آماري دقت و حساسیت استفاده شد.

دقت طبقه‌بندی کلی: تعداد تصمیم‌های صحیح تقسیم بر تعداد

کل تصمیم‌های ممکن.

حساسیت: تعداد تصمیمات مثبت صحیح تقسیم بر جمع تعداد

تصمیم‌های مثبت صحیح و تصمیم‌های منفی نادرست.

نتایج و بحث

نتایج طبقه‌بندی نمونه‌ها با استفاده از ویژگی‌های حوزه زمان

بررسی‌های ظاهری در حوزه زمان نشان می‌دهد که دامنه سیگنال‌های صوتی کیوی‌های سفت بزرگتر از دامنه سیگنال نمونه‌های نرم و متوسط است و دامنه سیگنال‌های صوتی نمونه‌های متوسط بزرگتر از نمونه‌های نرم بوده است. با توجه به اینکه هر سیگنال صوتی شامل ۵۱۲ داده می‌باشد و نتایج اولیه برای استفاده از تمام این داده‌ها قابل قبول نبود، بنابراین در حوزه زمان تنها دو ویژگی شاخص تیزی (CF) و ماکزیمم دامنه (Y_{max}) در طبقه‌بندی مورد استفاده قرار گرفت. نتایج حاصله نشان داد ویژگی‌های CF و Y_{max} در حوزه زمان برای طبقه‌بندی کیوی‌ها دارای دقت شناسایی نسبتاً بالایی بوده است. در این حالت شبکه با تعداد پنج نرون در لایه مخفی بهترین عملکرد را داشته و دقت آن برای داده‌های آموزش، اعتبارسنجی و آزمون به ترتیب ۹۱/۵۴، ۸۳/۴۸ و ۷۹/۱۶ درصد به دست آمد. لازم به ذکر است که دقت کلی شبکه برابر با ۸۴/۷ درصد به دست آمد. همچنین از نتایج ارائه شده در جدول ۱ می‌توان نتیجه گرفت با افزایش تعداد نرون‌های لایه پنهان به بیشتر از تعداد بهینه ۵ عدد، میانگین مربعات خطا افزایش یافته و درصد موفقیت مراحل آموزش، اعتبارسنجی و آزمون کاهش می‌یابد. نتایج ماتریس اغتشاش نشان داد که دقت کلی شبکه برای ویژگی‌های حوزه زمان ۸۱/۳ درصد بوده است (شکل ۳). به عبارت دیگر از تعداد ۱۵۰ نمونه‌ی پردازش شده، ۲۲ نمونه به اشتباه تشخیص و طبقه‌بندی شده‌اند که ممکن است به دلیل ضعف داده‌ها در حوزه زمان و همچنین خارج نکردن اطلاعات اضافی از مجموعه داده‌ها باشد. همچنین، نتایج به دست آمده توسط نمودار اغتشاش نشان می‌دهد که

۱۵۰ نمونه در طراحی شبکه استفاده گردید. برخی از داده‌های نامناسب حذف گردید و از طرفی برای اینکه شبکه با مشکل آموزش مواجه نشود، داده‌های یکسان و تکراری حذف شدند.

برای اینکه بتوان کیوی‌ها را در سه کلاس مختلف نرم، متوسط و سفت طبقه‌بندی کرد، از شبکه عصبی مصنوعی استفاده گردید. به این ترتیب که ویژگی‌های مستخرج از سیگنال در هر حوزه (زمان و فرکانس) به عنوان ورودی شبکه در نظر گرفته شد و خروجی شبکه نیز سه کلاس نرم، متوسط و سفت در نظر گرفته شد. در بخش سوم این تحقیق یک شبکه عصبی بررسی گردید که از هر دو ویژگی‌های حوزه زمان و فرکانس هم‌زمان استفاده شد. در این روش از تمامی اطلاعات موجود در صدای ضبط شده هم در حوزه زمان و هم فرکانس یعنی CF+Ymax+PSD+Phase+Ampfft استفاده شد. این اطلاعات برای سیگنال‌های چگالی طیف توان (PSD)، زاویه فاز (Phase) و دامنه تبدیل سریع فوریه سیگنال (Ampfft) به صورت یک ماتریس 150×30 و برای ویژگی‌های شاخص تیزی (CF) و دامنه‌ی حداکثر (Y_{max}) به صورت 150×2 به ورودی شبکه عصبی داده شد. از شبکه عصبی با یک لایه مخفی و تعداد نرون‌های مختلف در تمامی حالت‌ها استفاده شد. تابع یادگیری برای شبکه‌های پس‌انتشار پس‌خور و تشخیص الگو به ترتیب الگوریتم پس‌انتشار لوبنبرگ-مارکوارت^۱ و گرادیان ترکیبی مدرج می‌باشند. تعیین تعداد نرون‌های مطلوب نیز بر مبنای آزمون و خطا با توجه به کمترین مقدار خطای ارزیابی شبکه انجام می‌گیرد. در تمامی شبکه‌ها از توابع تانژانت سیگموئید در هر دو لایه مخفی و خروجی به عنوان توابع فعال‌سازی استفاده شد. همچنین نرخ یادگیری ۰/۱ و ضریب گشتاور برابر با ۰/۷ برای تمامی شبکه‌ها منظور گردید. اندازه لایه‌ی ورودی شبکه برابر با ابعاد بردار ورودی است. لایه‌ی خروجی نیز شامل سه نرون است که بیان‌کننده کیوی‌های سفت، متوسط و نرم می‌باشند. برای جلوگیری از آموزش بیش از حد، داده‌ها به صورت تصادفی به سه گروه مجزا تقسیم شدند، ۷۰ درصد داده‌ها در مرحله آموزش، ۱۵ درصد در ارزیابی و ۱۵ درصد باقی‌مانده نیز جهت اعتبارسنجی مورد استفاده قرار گرفتند.

برای آزمون ویژگی‌های ترکیبی در حوزه فرکانس نیز از شبکه عصبی MLP با الگوریتم آموزش پس‌انتشار خطا استفاده شد. لازم به ذکر است که از سیگنال‌های چگالی طیف توان (PSD)، زاویه فاز (Phase) و دامنه تبدیل سریع فوریه سیگنال (Ampfft) ۳۰ ویژگی به عنوان ورودی به شبکه داده شد. تمامی شبکه‌های مورد مطالعه در محیط نرم‌افزار متلب و با کدنویسی‌های مربوطه طراحی و اجرا شدند. برای داشتن کارایی بهتر شبکه، نیاز است که ویژگی‌های اولیه نرمالیزه شوند. چرا که ممکن است اختلاف بین ویژگی‌های اولیه زیاد

فرکانس که ناشی از نویز محیط و یا محل برخورد نمونه بوده را کنترل کرد که این موضوع سبب کاهش دقت شناسایی می‌گردد.

نتایج طبقه‌بندی نمونه‌ها با استفاده از ویژگی‌های حوزه فرکانس

نتایج حاصل از آموزش شبکه حوزه فرکانس در جدول ۲ ارائه شده است.

قدرت تشخیص شبکه در حالت کلی برای کیوی‌های سفت ۸۷/۱، نرم ۸۹/۸ و متوسط ۷۶/۹ و درصد بود. بنابراین شبکه عصبی با استفاده از ویژگی‌های حوزه زمان قابلیت بالایی در شناسایی کیوی‌های متوسط ندارد. کیوی‌های متوسط با داشتن خواص نزدیک به هر دو گروه سفت و نرم کار تشخیص را با مشکل مواجه می‌کنند. نتایج این بخش نشان می‌دهد که دو شاخص تیزی و ماکزیمم دامنه در حوزه زمان قدرت تشخیص بالایی برای جدا کردن کلاس متوسط نخواهد داشت. از طرفی در حوزه زمان نمی‌توان ارتعاشات سریع

جدول ۱- عملکرد شبکه عصبی مورد استفاده با ورودی‌های CF و Ymax در حوزه زمان

Table 1- ANN results for Ymax and CF features extracted in time domain

تعداد نرون‌ها (Number of) (neurons)	میانگین مربعات خطا (Mean square) (error)	درصد موفقیت داده‌های آموزش (Success percent of) (training data)	درصد موفقیت داده‌های ارزیابی (Success percent of) (evaluating data)	درصد موفقیت داده‌های آزمون (Success percent of) (testing data)
1	0.16508	57.83	56.53	50.00
2	0.14062	75.30	71.96	60.63
3	0.11523	81.34	77.16	73.52
4	0.14685	84.84	69.56	71.28
5	0.06511	91.54	83.48	79.16
6	0.12445	81.54	71.34	71.30
7	0.10759	89.30	76.97	74.77

شرایط واقعی	شرایط پیش‌بینی			شاخص ارزیابی دقت - حساسیت (Accuracy)	
	سفت (Stiff)	نرم (Soft)	متوسط (Semi soft)		
شرایط واقعی	سفت (Stiff)	54 36%	8 5.3%	0 0%	87.1% 12.9%
شرایط واقعی	نرم (Soft)	5 3.3%	44 29.3%	0 0%	89.8% 10.2%
شرایط واقعی	متوسط (Semi soft)	1 0.7%	8 5.3%	30 20%	76.9% 23.1%

شکل ۳- ماتریس اغتشاش برای ویژگی‌های حوزه زمان

Fig.3. Confusion matrix for features extracted in time domain

استفاده از ویژگی‌های حوزه فرکانس برای نمونه‌های سفت، متوسط و نرم افزایش یافته به طوری که در ماتریس اغتشاش ارزیابی و کل قدرت تشخیص نمونه‌های سفت و متوسط ۱۰۰ درصد بوده و قدرت تشخیص نمونه‌های نرم در حالت کلی ۸۳/۳ درصد بوده است. یعنی از تعداد ۴۹ نمونه نرم، فقط ۶ نمونه به اشتباه در دسته نمونه‌های متوسط تشخیص داده شده است. پس می‌توان نتیجه گرفت که قدرت تشخیص ویژگی‌های ترکیبی در حوزه فرکانس برای همه نمونه‌ها اعم از سفت، متوسط و نرم بالا بوده است. بنابراین با استفاده از تمام داده‌های مستخرج از حوزه فرکانس می‌توان قابلیت تشخیص شبکه را افزایش داد. نتایج این بخش نشان می‌دهد که توجه به اینکه در حوزه

نتایج نشان می‌دهد که تعداد پنج نرون در لایه پنهان، کمترین میزان میانگین مربعات خطا را داشته و درصد موفقیت داده‌های آموزش، ارزیابی و آزمون به ترتیب برابر با ۹۳/۳، ۹۱/۳ و ۷۸/۳ به دست آمد. با افزایش تعداد نرون لایه پنهان به بیش از پنج عدد درصد موفقیت داده‌های ارزیابی و آزمون کاهش یافته و میانگین مربعات خطا نیز افزایش می‌یابد. بنابراین تعداد پنج نرون در لایه پنهان مطلوب بوده است. لازم به ذکر است که دقت کلی شبکه در این حالت برابر با ۸۷/۷ درصد حاصل گردید.

شکل ۴ نمونه‌ای از ماتریس اغتشاش برای پنج نرون در لایه پنهان را نشان می‌دهد. ملاحظه می‌شود قدرت تشخیص شبکه با

نتایج طبقه‌بندی نمونه‌ها با استفاده از ویژگی‌های ترکیبی حوزه زمان و فرکانس

جدول ۳ نتایج حاصل از عملکرد شبکه عصبی بهینه را با استفاده از ویژگی‌های ترکیبی حوزه فرکانس- زمان نشان می‌دهد.

فرکانس از ویژگی‌های بیشتری برای طبقه‌بندی نمونه‌ها استفاده شده است، لذا قدرت تفکیک کلاس‌های مختلف بالاتر بوده و به خوبی و با دقت مناسب کلاس متوسط نیز از کلاس‌های نرم و سفت قابل تفکیک می‌باشد.

جدول ۲- عملکرد شبکه عصبی مورد استفاده بر اساس ویژگی‌های حوزه فرکانس

Table 2- ANN results developed based on features extracted in frequency domain

تعداد نرون (Number of) (neurons	میانگین مربعات خطا (Mean square) (error	درصد موفقیت داده‌های آموزش (Success percent of) (training data	درصد موفقیت داده‌های ارزیابی (Success percent of) (evaluating data	درصد موفقیت داده‌های آزمون (Success percent of) (testing data
1	0.17349	57.7	60.9	56.5
2	0.13678	76.0	73.9	60.9
3	0.08813	86.5	82.6	69.6
4	0.08906	82.7	87.0	73.9
5	0.01478	93.3	91.3	78.3
6	0.07558	92.3	87.0	69.5
7	0.09980	95.2	78.3	82.6

شرایط واقعی	شرایط پیش‌بینی			شاخص ارزیابی (دقت- حساسیت (Accuracy)	
	سفت (Stiff)	نرم (Soft)	متوسط (Semi soft)		
شرایط واقعی	سفت (Stiff)	62 46.7%	0 0%	0 0%	100% 0%
شرایط واقعی	نرم (Soft)	0 0%	42 28.3%	7 4.2%	83.3% 12.8%
شرایط واقعی	متوسط (Semi soft)	0 0%	0 0%	39 20.8%	100% 0%

شکل ۴- ماتریس اغتشاش برای ویژگی‌های حوزه فرکانس

Fig.4. Confusion matrix for features extracted in frequency domain

جدول ۳- عملکرد شبکه عصبی مورد استفاده بر اساس ویژگی‌های حوزه زمان و فرکانس

Table 3- ANN results developed based on a combination of features extracted in both time and frequency domains

تعداد نرون (Number of) (neurons	میانگین مربعات خطا (Mean square) (error	درصد موفقیت داده‌های آموزش (Success percent of) (training data	درصد موفقیت داده‌های ارزیابی (Success percent of) (evaluating data	درصد موفقیت داده‌های آزمون (Success percent of) (testing data
4	0.19984	75.0	57.1	66.7
5	0.02700	73.9	75.0	83.9
6	0.01400	85	88.3	87.0
7	0.01990	91.7	83.3	73.9

نتایج به‌دست آمده در جدول ۳ نشان می‌دهد که عملکرد شبکه عصبی مصنوعی در تشخیص و شناسایی کیوی سفت، متوسط و نرم با استفاده از ویژگی‌های مستخرج در حوزه زمان و فرکانس نسبت به حالت قبلی که فقط از ویژگی‌های حوزه فرکانس استفاده شده بود، پایین‌تر است. نتایج نشان می‌دهد که تعداد شش نرون در لایه پنهان، کمترین میزان میانگین مربعات خطا را داشته و درصد موفقیت آموزش، ارزیابی و آزمون شبکه به ترتیب برابر با $۸۵/۰$ ، $۸۸/۳$ و $۸۷/۰$ درصد بوده است. در این حالت میانگین مربعات خطا $۰/۰۱۴$ بوده و با افزایش تعداد نرون لایه پنهان به بیش از شش نرون، گرچه درصد موفقیت داده‌های آموزش افزایش می‌یابد ولی درصد موفقیت داده‌های ارزیابی و آزمون به ترتیب تا $۸۳/۳$ و $۷۳/۹$ درصد کاهش یافته و میانگین مربعات خطا افزایش می‌یابد. بنابراین تعداد شش نرون در لایه پنهان مطلوب می‌باشد. نتایج این بخش نشان می‌دهد که اضافه کردن ویژگی‌های مستخرج از حوزه زمان سیگنال باعث ایجاد خطا در طبقه‌بندی کلاس‌های مختلف می‌شود و دقت را کاهش خواهد داد. لذا برای داشتن بیشترین دقت در طبقه‌بندی، بایستی صرفاً از ویژگی‌های حوزه فرکانس استفاده نمود.

نتایج حاصل از آزمون در حالت سقوط آزاد

در آزمون سقوط از تسمه به دلیل شرایط محیطی هنگام داده‌برداری، امکان کنترل عوامل موثر بر سیگنال‌های ضبط شده و همچنین کنترل جهت و محل برخورد نمونه به صفحه، فراهم نگردید. بنابراین جهت کنترل شرایط محیطی و داشتن شرایطی نسبتاً ایده‌آل

جدول ۴- عملکرد شبکه برای داده‌های آزمون سقوط آزاد برای زیر مجموعه‌ای از ویژگی‌های مستخرج

Table 4- ANN results developed based on acoustic data acquired in free fall test

حالت ترکیبی (Combined mode)	میانگین مربعات خطا (Mean square error)	درصد موفقیت داده‌های آموزش (Success percent of training data)	درصد موفقیت داده‌های ارزیابی (Success percent of evaluating data)	درصد موفقیت داده‌های آزمون (Success percent of testing data)
ویژگی‌های حوزه زمان (Features of time domain)	0.00165	98.8	94.4	94.4
ویژگی‌های حوزه فرکانس (Features of frequency domain)	0.01987	86.9	91.7	73.3
ویژگی‌های ترکیبی (Combined features)	0.00208	98.8	94.5	88.9

نتیجه‌گیری

در این تحقیق، طبقه‌بندی کیوی‌های سفت، متوسط و نرم با استفاده از پردازش سیگنال‌های صوتی حاصل از ضربه و مدل‌سازی

برای ضبط سیگنال‌ها و استخراج ویژگی‌های توانمند برای طبقه‌بندی کیوی‌های سفت، متوسط و نرم از آزمون سقوط آزاد استفاده شد. نتایج به‌دست آمده به‌عنوان مرجعی جهت بررسی روش آزمون سقوط از تسمه، استفاده شد. نتایج ارائه شده نشان می‌دهد که ویژگی‌های مستخرج از سیگنال‌های ضبط شده در آزمون سقوط آزاد نسبت به حالت سقوط از تسمه قابلیت بالاتری را برای طبقه‌بندی دارا می‌باشند. میانگین مربعات خطا برای ویژگی‌های حوزه زمان در سیگنال‌های ضبط شده در حالت سقوط از تسمه برابر $۰/۰۶۵۱۱$ بود، در حالی که این مقدار برای حالت سقوط آزاد بسیار کمتر و برابر $۰/۰۰۱۶۵$ بوده است. اما عملکرد شبکه برای ویژگی‌های حوزه فرکانس در حالت سقوط آزاد تفاوت فاحشی با حالت سقوط از تسمه ندارد. میانگین مربعات خطا برای حالت سقوط آزاد در حوزه فرکانس برابر با $۰/۰۱۹۸۷$ به‌دست آمد و این در حالی است که در حالت سقوط از تسمه این مقدار برابر با $۰/۰۱۴۷۸$ بوده است.

از طرفی در حالت سقوط آزاد عملکرد شبکه با استفاده از تمام ویژگی‌های حوزه زمان و فرکانس بهبود می‌یابد و درصد موفقیت برای داده‌های آموزش، ارزیابی و آزمون به ترتیب به $۹۴/۵$ ، $۹۸/۸$ و $۸۸/۹$ درصد افزایش می‌یابد (جدول ۴). دلیل بهبود نتایج حاصل از طبقه‌بندی در حالت ترکیب ویژگی‌های حوزه زمان و فرکانس، در واقع افزایش دقت در بخش حوزه زمان در حالت سقوط آزاد می‌باشد که به دلیل کنترل بیشتر شرایط آزمایش و کاهش نویزهای محیطی به دلیل عدم کارکرد تسمه می‌باشد.

شبکه‌های عصبی مورد مطالعه قرار گرفت. شناسایی بین کیوی‌های سفت، متوسط و نرم با استفاده از سیگنال‌های صوتی حاصل از ضربه امکان‌پذیر می‌باشد. ویژگی‌های حوزه فرکانس قابلیت بیشتری در شناسایی نمونه‌ها دارند. افزودن ویژگی حوزه زمان به ویژگی‌های

زمان اختلاف چشمگیری در قدرت تشخیص و طبقه‌بندی شبکه عصبی در هر دو حالت وجود دارد و برای داده‌های حوزه فرکانس و ترکیبی اختلاف زیادی مشاهده نشده است. بنابراین می‌توان نتیجه گرفت که اگر جهت و محل برخورد نمونه تحت کنترل باشد می‌توان از این روش برای طبقه‌بندی کیوی‌ها در مسیر سورتینگ استفاده کرد.

مستخرج در حوزه فرکانس و بررسی ترکیبی این ویژگی‌ها، دقت شناسایی و پایداری شبکه مورد استفاده را کاهش می‌دهد و اثر قابل توجهی در کاهش میانگین مربعات خطا و بهبود عملکرد شبکه ندارد. با مقایسه نتایج به‌دست آمده در هر دو آزمون می‌توان گفت که روش آزمون غیر هم‌زمان قابلیت صنعتی شدن را دارا می‌باشد، چرا که با مقایسه تمامی نتایج مشاهده می‌شود که فقط در نتایج حاصله در حوزه

References

1. Bureau, S., D. Ruiz, M. Reich, B. Gouble, D. Bertrand, J.-M. Audergon, and C. M. Renard. 2009. Rapid and non-destructive analysis of apricot fruit quality using FT-near-infrared spectroscopy. *Food Chemistry* 113: 1323-1328.
2. De Ketelaere, B., M. S. Howarth, L. Crezee, J. Lammertyn, K. Viaene, I. Bulens, and J. De Baerdemaeker. 2006. Postharvest firmness changes as measured by acoustic and low-mass impact devices: a comparison of techniques. *Postharvest Biology and Technology* 41: 275-284.
3. FAO. 2013. FAO Stat: Agriculture Data. Available on <<http://faostat.fao.org/site/339/default.aspx>>.
4. Garsia, F. J., J. Canavate, M. Altisen, and J. M. Chaves. 2003. Development and implementation of online impact sensor for firmness sensing of fruits. *Journal of Food Engineering* 58: 53-70.
5. Kim, K.-B., S. Lee, M.-S. Kim, and B.-K. Cho. 2009. Determination of apple firmness by nondestructive ultrasonic measurement. *Postharvest Biology and Technology* 52: 44-48.
6. Mery, D., F. Pedreschi, and A. Soto. 2013. Automated design of a computer vision system for visual food quality evaluation. *Food and Bioprocess Technology* 6: 2093-2108.
7. Mirzaei, M., M. Khoshtaghaza, H. Barzegar, and A. Salimi. 2013. Effect of potassium nitrate and time on kiwifruit physico-chemical properties. *Journal of Agricultural Machinery* 4 (1): 37-49. (In Farsi).
8. Mizrach, A. 2007. Nondestructive ultrasonic monitoring of tomato quality during shelf-life storage. *Postharvest Biology and Technology* 46: 271-274.
9. Park, Y., S. Jung, and S. Gorinstein. 2005. Ethylene treatment of 'Hayward' kiwi fruit during ripening and its influence on ethylene synthesis and antioxidant activity. *Scientia Horticulturae* 108: 22-28.
10. Pathaveerat, S., A. Terdwongworakul, and A. Phaungsombut. 2008. Multivariate data analysis for classification of pineapple maturity. *Journal of Food Engineering* 89: 112-118.
11. Perez-Marín, D., M.-T. Sánchez, P. Paz, M.-A. Soriano, J.-E. Guerrero, and A. Garrido-Varo. 2009. Non-destructive determination of quality parameters in nectarines during on-tree ripening and postharvest storage. *Postharvest Biology and Technology* 52: 180-188.
12. Rangi, L., and A. Berardinelli. 2001. Mechanical behaviour of apples, and damage during sorting and packing. *Journal of Agricultural Engineering Research* 78: 273-279.
13. Ruiz-Altisent, M., L. Lleó, and F. Riquelme. 2006. Instrumental quality assessment of peaches: fusion of optical and mechanical parameters. *Journal of Food Engineering* 74: 490-499.
14. Smets, M. P. H., T. R. Eger, and S. G. Grenier. 2010. Whole body vibration experienced by haulage truck operations in surface mining operations: a comparison of various analysis methods utilized in the prediction of health risks. *Applied Ergonomics* 41 (6): 763-770.
15. Terasaki, S., N. Wada, N. Sakurai, N. Muramatsu, R. Yamamoto, and D. J. Nevins. 2001. Nondestructive measurement of kiwifruit ripeness using a laser Doppler vibrometer. *Transactions of the ASAE* 44: 81.
16. Zhang, B., W. Huang, L. Jiangbo, C. Zhao, S. Fan, J. Wu, and C. Liu. 2014. Principles, developments and applications of computer vision for external quality inspection of fruits and vegetables: A review. *Food Research International* 62: 326-343.

Kiwifruit Classification using Impact- Acoustic Technique and Artificial Neural Network

F. Jannatdost¹- P. Ahmadi moghaddam^{2*}- F. Sharifian³

Received: 24-02-2018

Accepted: 06-08-2018

Introduction

Fruits and vegetables play an important role in food supply and public health. This group of agricultural products due to high humidity are perishable and most of them (5 to 50 percent) waste during post-harvest operation. Decreasing and minimizing such waste as "hidden harvest" could be an effective way to save food and increase profitability. Despite the surplus of the fruit production in the country, our position in terms of exportation is not commensurate with production, so measurements and grading on the basis of qualitative parameters such as firmness, taste, color, and shape can influence the marketing and export of fruit. In this research, application of an acoustic test is considered to achieve an effective and economic technology in the field to determine the stiffness of kiwifruit in post-harvest step. The aim of this study is to investigate the stiffness index of kiwifruit and provide a classification algorithm in the post-harvest step by using the non-destructive method of processing impact acoustic signals.

Materials and Method

In this research, an acoustic-based intelligent system was developed and the possibility of using the acoustic response to classify kiwifruit into soft, semi-soft and stiff categories was studied. 150 samples of Hayward variety of Kiwifruit was used during the 18 days shelf life in controlled conditions of temperature and humidity. Analyses were done in 9 sets per two days. In each analysis, an acoustic test was done by 48 samples in both free fall condition and fall from a conveyor belt. The feature extraction of acoustic signals in both the time domain and frequency domain has done, then the classification of samples was done by using the Artificial Neural Network. After getting the impact signals of stiff, semi-soft and soft samples, stiffness of kiwifruits identification has done by using acoustic features. The stiffness of kiwifruit samples in this study was measured to be 15.9 ± 4.9 (N) by using the Magnes- Taylor test. Finally, samples were classified into stiff, semi-soft and soft by comparison of maximum force and flux of signals amplitude.

Results and Discussion

The results showed that the features of CF and maximum amplitude in the time domain have high accuracy in kiwifruit classification. The frequency resonances as environmental noises or impact position are out of control in the time domain which causes a decrease in accuracy. So, the ANN by features of time domain has not the acceptable capability to identify the semi-soft samples. The identification of semi-soft samples is not easy because of having same properties of stiff and soft samples. Extracted features of frequency domain have the most capability of correct detection. The optimal network has five neurons in the hidden layer and 0.014782 of mean square error. The accuracy of correct detection of the optimal network was 93.3, 91.3 and 78.3 percent for stiff, semi-soft and soft samples, respectively. Because of using more features in the frequency domain, the classification of all categories was acceptable and identification of semi-soft samples was as good as stiff and soft samples. The results of combined features of time and frequency domain showed that the artificial neural network has less efficiency in comparison with the other two attitudes. The accuracy of identification and classification was decreased by adding the extracted features of the time domain. So achieving the most accuracy in classification is accomplishable just by using the features of the frequency domain. By comparing the results of both free fall and online tests, it is claimed that this research can be industrialized.

Conclusions

Comparison of all results shows that there was no significant difference in the capability of ANN for identification and classification of the sample in three categories. After all, we can use this method in online sorting of kiwifruits by controlling the vector and position of impaction.

Keywords: Kiwifruit stiffness, Neural network, Nondestructive acoustic test, Shelf life, Signal processing

1- Masters Graduated of Mechanical Engineering of Biosystems, Urmia University, Urmia, Iran

2- Associate Professor, Department of Mechanical Engineering of Biosystems, Faculty of Agriculture, Urmia University, Urmia, Iran

3- Assistant Professor, Department of Mechanical Engineering of Biosystems, Faculty of Agriculture, Urmia University, Urmia, Iran

(*- Corresponding Author Email: p.ahmadi@urmia.ac.ir)